

XeF_n

1983

28880 GASEOUS FLUORIDES OF XENON. Martin H.

Studier and Eric N. Sloth (Argonne National Lab., Ill.).

J. Phys. Chem., 67: 925-6(Apr. 1963). (TID-17494; UAC-6908)

XeF_n

Mass spectrometric analyses were carried out on the ions produced by electron bombardment of the vapors from solid XeF₄. The following ions were identified: Xe⁺, XeF⁺, XeF₂⁺, XeF₃⁺, XeF₄⁺, Xe²⁺, XeF²⁺, XeF₂²⁺, XeF₃²⁺, XeO⁺, XeOF⁺, XeOF₂⁺, XeOF₃⁺, and XeOF₄⁺. The ions XeF₂⁺, XeF₄⁺, XeOF₃⁺, and XeOF₄⁺ probably arise from independent neutral species while the others are fragmentation products. It is concluded that XeF₂ exists as an independent species of greater volatility than XeF₄. The possible existence of XeOF₃ and XeOF₄ is discussed. (D.L.C.)

NSA-1983-14-17

1963

 XeF

Studier M. H., Sloth E. N.,

 XeF_2

J. Ph. Ch., 1963, 67, 925

 XeF_2

Чернодрежиме производство ксенона

 XeF_4 XeF_4O_x - полупроводник
желт.-зеленое XeF_4

XeFn (K.B. Mex. paciēm) 1969
Atsipei G. St. ~~A. H. Schaefer~~ St., № 3638

God. Vissh. Nauk. i Tekhnol. Inst.,
Sofia, 1969 (Publ. 1971), 16, N1, 45-56

(бюл.)

Best values of the Coulomb
integrals in a molecular
orbital treatment of xenon
fluorides.

10
P

(ent. opacitatis) CA, 1973, 73, N10, 57869a

XeF_n

1971

16 Б20. Исследование молекул XeF , XeF_3 , XeF_3^+ , XeF_5 и XeF_5^+ методом молекулярных орбиталей с использованием надежных значений кулоновских интегралов. Аидреев С т. Разглеждане на молекулите XeF , XeF_3 , XeF_3^+ , XeF_5 и XeF_5^+ в схема на терията на молекулните орбитали с използване на надеждни стойности на кулоновите интеграли. «Годишн. Висш. хим.-технол. ин-т — София», 1969(1971) 16, № 1, 33—44 (болг.; рез. рус., англ.)

С использованием значений диагональных матричных элементов, полученных в пред. работе (см. пред. реф.), методом Вольфсберга—Гельмгольца исследовано электронное строение XeF (I), XeF_3 (II), XeF_3^+ , XeF_5 (III) и XeF_5^+ . Ср. энергии связи для I, II (симметрия C_{2v}) и III (симметрия C_{4v}) найдены равными —4, 20 и 24 ккал/моль соответственно.

По резюме

Электр.
сигнал.

X. 1973 N 16

1972



18 Б24. Применение метода МО ЛКАО к молекулам XeF_3 и XeF_3^+ . Андреев Ст. Изследване на XeF_3^+ и XeF_3^{+} с теорията на МО ЛКАО. «Годиши. Висш. хим.-технол. ин-т — София», 1968(1972), 15, № 5, 205—212 (болг.; рез. рус., англ.)

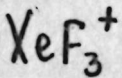
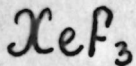
По методу Вольфсберга и Гельмгольца с учетом только $p\sigma$ -АО рассмотрено электронное строение молекул XeF_3 (I) и XeF_3^+ (II). Вычисления проводились для трех различных геометрич. конфигураций с симметрией D_{3h} , C_{2v} и C_{3v} . Для I, согласно расчету, наиболее устойчивой конфигурацией должна быть структура с симметрией C_{2v} , имеющая наибольшее значение (по абс. величине) суммарной орбитальной энергии. Для II выбор стабильной геометрии неоднозначен — наиболее вероятны D_{3h} или C_{2v} . Распределение зарядов на атомах в рассмотренных молекулах характеризуется значит. переносом электронов от атома ксенона к атомам фтора.

По резюме

Доктор
Смирин.

Х. 1973 N 18

1972



u. n.

kb. Mex.
paerum

45943g MO LCAO treatment of xenon trifluoride and xenon trifluoride(+) molecules. Andreev, S. (Bulg.). *God. Vissh. Khimikotekhnol. Inst., Sofia* 1968 (Pub. 1972), 15(5), 205-12 (Bulg). A MO LCAO treatment of XeF_3 and XeF_3^+ is used to obtain the total orbital energy values for the symmetry forms D_{3h} , C_{2v} , and C_{2h} ; the min. values, corresponding to the preferred symmetry, correspond to C_{2v} for XeF_3 and to C_{2h} or D_{3h} for XeF_3^+ . In all cases there is considerable charge sepn. from Xe to F; the calcd. bond energies are 1.87 eV for XeF_3 and 1.57 eV for XeF_3^+ and are close to those of XeF_2 and XeF_4 .

C. D. Kopkin

C. A. 1973. 79 n 8

30726.8742

TE, Ch

XeF₂; XeF₄; XeF₆

40771

1973

25-1206

Descript.

Liskow Dean H., Schaefer Henry F., III,
Bagus Paul S., Liu Bowen.

Probable nonexistence of xenon monofluo-
ride as a chemically bound species in
the gas phase.

"J. Amer. Chem. Soc.", 1973, 95, N 12,
4056-4057

(англ.) 0923 ник

903 906 0916

ВИНИТИ

40510.3701
TE,Ch

XeF₂ 40771
XeF₄, XeF₆

1974
02
2113

Carroll T.X., Shaw R.W., Jr, Thomas T.D.,
Kindle C., Bartlett N.

Electron distribution in the xenon fluo-
rides and xenon oxide tetrafluoride by
ESCA and evidence for "Orbital
Independence" in the xenon-fluorine
bonding.

"J.Amer.Chem.Soc.", 1974, 96, N. 7,
1989-1996 (англ.)

0206 5/1

085 036 013

ВИНИТИ

Xe F_x[±]

1974

$x = 1 \div 6$

Чаркеев О.П. и сп.

(
Кб. цех
пластин.
з.н. с. г. якес.)

Proc. Int. Conf.
Coord. Chem., 10th
1974, 2. 3а, 3 pp.

(cell. A₂F_x[±]) III

1974

XeFn

V1 Д140. Пригодность трехцентровой четырехэлектронной модели для анализа стабильности галогенидов инертных газов на основе теории обменных возмущений.
 Lombardi E., Pirola L., Tarantini G., Jensen L., Ritter R. Validity of the three-center, four-electron model for stability of rare gas halides on the basis of exchange perturbation theory. «Int. J. Quant. Chem.», 1974, 8, № 3, 335—345 (англ.; рез. франц., нем.)

Исследована стабильность галогенидов инертных газов RX_n ($n=2, 3, 4$; $R=Xe, Kr$; $X=F, Cl$) с помощью $(n+1)$ -центровой $(n+2)$ -электронной модели. От каждого атома X учитывается 1 электрон, от центрального атома $n-2$ электрона. Волн. ф-ция Φ представляется в виде линейной комбинации спин-спроектированных произведений орбитальных ф-ций на каждом центре, а энергия находится по теории обменных возмущений до 2-го порядка включительно. Получено, что XeF_4 стаби-

ф. 1975 № 1

(73)

лен лишь при геометрич. конфигурации типа симметрии D_{4h} и при условии синглетности состояния; KrF₄, если и стабилен, то с очень малой энергией связи; остальные тетрагалогениды Xe и Kr нестабильны. Тригалогениды Xe и Kr нестабильны (конфигурации D_{3h} и C_{2v}), из дигалогенидов стабильны лишь фториды при конфигурации $D_{\infty h}$.

А. И. Дементьев

ГУР
ТЫ

1974

XeF₆

заг. сыр.

9 Б137. Электронная и геометрическая структура свободной молекулы XeF₆. Nielsen U., Haensel R., Schwarz W. H. E. Electronic and geometric structure of the free XeF₆ molecule. «J. Chem. Phys.», 1974, 61, № 9, 3581—3586 (англ.)

В области 50—170 эв исследовано поглощение синхротронного излучения в газе XeF₆. Полосы вблизи 66 эв отнесены к $4d \rightarrow 5p$ -переходам Xe. Вблизи 140 эв и ниже 64 эв не найдены полосы, предсказанные моделью электронной изомеризации Гудмана. Не найдены также ридберговые 4d-серии при 72—75 эв, а широкая полоса вблизи 100 эв отнесена к 4d-еф-ионизации. Результаты согласуются с моделью молекулы XeF₆ с симметрией O_h или квази-O_h и с основным состоянием типа $5s^2 \ ^1A_{1g}$.

М. Р. Алиев

Х. 1975. № 9

1974

XeF₈²⁻

запомнил
расчет

23 Б38. Изучение молекулы гексафторида ксенона в модели кристаллического поля. II. Сопоставление с другими молекулами шестивалентного ксенона. Wang Sylvestre Y., Lohr Lawrence L., Jr. Crystal-field model study of the xenon hexafluoride molecule. II. Comparisons with other hexavalent xenon molecules. «J. Chem. Phys.», 1974, 60, № 10, 3916—3919 (англ.).

(см Xe-O-F;
III)

х. 1974. N23

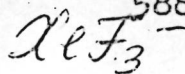
В рамках двухэлектронной модели крист. поля (см. пред. реф.) проведен расчет молекул $\text{XeOF}_4(C_{4v})$, $\text{XeO}_3(C_{3v})$, $=\text{XeO}_2\text{F}_2(C_{2v})$ и иона XeF_8^{2-} . Значения орбитальных энергий получены с одним набором энергетич. параметров. Проведенное сопоставление полученных результатов с расчетом расширенным методом МО Хюкеля показало их качеств. соответствие. Для иона XeF_8^{2-} проведены расчеты с различными значениями деформац. углов. Найдена оптим. геометрия. С. Долин

60514.9169

Ch, TC

58811GR

1976



XeS-12837

Liebman Joel F. On the existence of the trifluoroxenate (II) ion, XeF_3^- : comments on "The 'base catalyzed' fluorination of SO_2 by XeF_2 ". "J. Fluor. Chem.", 1976, 7, N 5, 531-535 (англ.)

0619 ник

593 594

ВИНИТИ

60511.3636

Ch, Ph, TC

96200

1976

XeF₃ (anisip)

4-12851

Nielsen U. & Schwarz W.H.E.

VUV spectra of the xenon fluorides.

"Chem. Phys.", 1976, 13, N 3, 195-202

(англ.)

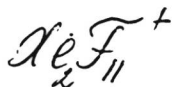
0616 ник

589 591

608

ВИНИТИ

1978



Cited. recd.

J.2

89: 120031v Tautomerism in xenon hexafluoride." An investigation of xenon hexafluoride and its complexes by Raman spectroscopy. Adams, Chris J.; Bartlett, Neil (Lawrence Berkeley Lab., Univ. California, Berkeley, Calif.). *Isr. J. Chem.* 1978, 17(1-2), 114-25 (Eng). Raman spectra are reported for complexes of XeF_6 with the fluoride-ion acceptors BF_3 , PdF_4 , PF_5 , AsF_5 , RuF_5 , PtF_5 , and AuF_5 , and for solns. of XeF_6 in HF and in WF_6 . Vibrational assignments were made for the cations XeF_5^+ and $\text{Xe}_2\text{F}_{11}^+$, and a normal coordinate anal. was made for XeF_5^+ . XeF_6 , present in concd. soln. in HF as $[\text{XeF}_5^+\text{F}^-]_4$, progressively ionizes on diln. to give $\text{Xe}_2\text{F}_{11}^+$ and XeF_5^+ ; on the other hand, in WF_6 soln. $[\text{XeF}_5^+\text{F}^-]_4$ exists in equil. only with mol. XeF_6 .

C.A., 1978, 89, 1114

XeF_3 sunmuck 6749 1978.

Baird N.C.

*Moronyx
neocaledonicus* Y. Chem. Edicel.

1978, 55 (7), 412-417

Re Fe

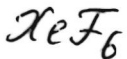
1948

rb. max.
pacem

Gimare B. M. et al
J. Am. Chem. Soc. 1948,
70(8), 2334-9

coll. PF₆-III

1980



M. n; A⁻
Kb. eccs,
facets

93: 120736m Pseudopotential SCF-MO studies of hypervalent compounds. II. Xenon fluorides (XeF_5^+ and XeF_6). Rothman, Michael J.; Bartell, Lawrence S.; Ewig, Carl S.; Van Wazer, John R. (Dep. Chem., Univ. Michigan, Ann Arbor, MI 48109 USA). *J. Chem. Phys.* 1980, 73(1), 375-81 (Eng). Structures of both XeF_5^+ and XeF_6 are governed by a stereochem. active lone pair. In the case of the square-pyramidal cation, the $F_{\text{ax}}\text{-Xe-F}_{\text{eq}}$ angle calcd. for the bare ion is within 2° of the value obsd. in the cryst. complex. For the hexafluoride, however, the calcd. deformation from O_h symmetry is appreciably greater than that deduced from electron diffraction intensities. Nevertheless, the results of calcns. are in sufficient conformity with the Bartell-Gavin (1965), Pitzer-Bernstein (1975) interpretation and at variance with the 'electronic-isomers' interpretation to leave little doubt about the answer. With increasing fluorination in the XeF_n series, the HOMO-LUMO energy difference decreases and the second-order Jahn-Teller effect is enhanced. Increasing fluorination (and increased pos. charge of Xe) also shortens bond lengths; calcd. shortenings parallel obsd. shortenings. Steric aspects of the structure and force field are diagnosed and found to be minor.

Omnibus 10316

CA 1980 93 n 12

XeF_6

1980

Scheire L., et al

Physica, 1980, A 101, n1,
22-48.

пачет
зекр.
сторон

см XeF_2 ; II

Xe₂F

1982

5 Д625. Исследование излучения эксимера Xe₂F при возбуждении электронным пучком. Xe₂F excimer emission studieds using electron-beam excitation. Tittel F. K., Sauerbrey R., Walter W., Wilson W. L. «Appl. Phys.», 1982, B29, № 3, 148 (англ.)

Получены спектры флуоресценции эксимеров XeF ($B \rightarrow X$, $\lambda_{\max} = 350$ нм), XeF ($C \rightarrow A$, $\lambda_{\max} = 475$ нм) и Xe₂F ($\lambda_{\max} = 610$ нм). Возбуждение флуоресценции осуществлялось импульсным пучком электронов в смесях высокого давления Ar/Xe/NF₃ и Xe/NF₃. Установлено, что Xe₂F* образуется в результате тройного столкновения с участием XeF (B , X). Определены константа скорости тушения XeF (B) ($2 \cdot 10^{-13}$ см⁶·с⁻¹) и константы скорости бимолекулярных реакций (в см³·с⁻¹): Xe₂F + NF₃ → продукты, $(7,8 \pm 1,2) \cdot 10^{-13}$; Xe₂F + Xe → продукты, $(1,0 \pm 0,2) \cdot 10^{-13}$; Xe₂F + Ar → продукты, $(2,8 \pm 0,9) \cdot 10^{-14}$. Измерено радиационное время жизни Xe₂F (152^{+19}_{-10} нс).

В. А. Е.

спектр, 1;

90. 1983, 18, N5

$Xe_2 F^*$

1982

97: 171800t Emission spectrum and quenching kinetics
xenon fluoride excimer ($Xe_2 F^*$). Walter, W.; Sauerbrey, R.;
Tittel, F. K.; Wilson, W. L., Jr. (Rice Quantum Inst., Rice
Univ., Houston, TX 77251 USA). *Appl. Phys. Lett.* 1982,
41(5), 387-9 (Eng). Expts. demonstrating the existence of the
triat. rare-gas excimer $Xe_2 F^*$ are reported. Three-body quenching
of $XeF^*(B,C)$ yields $Xe_2 F^*$, which radiates around 610 nm with a
bandwidth full width at half-max. (FWHM) of 120 nm. The
2-body quenching consts. of $Xe_2 F^*$ by NF_3 , Xe , and Ar as well as
the radiative lifetime of 152 ns were detd.

СНекр
испытания

C. A. 1982, 97, N 20

1982

Xe₂F

λ 3 Д856. Эмиссионный спектр и кинетика тушения Xe₂F*. Emission spectrum and quenching kinetics of Xe₂F*. Walter W., Sauergasse R., Tittel F. K., Wilson W. L., Jr. «Appl. Phys. Lett.», 1982, 41, № 5, 387—389 (англ.)

Исследованы спектры и кинетика затухания люминесценции газовых смесей Ar(Ne)—Xe—NF₃ при возбуждении пучком электронов с энергией 1 МэВ, плотностью тока 200 А/см² и длительностью импульса 10 нс. Спектральная полоса с максимумом ~610 нм и шириной на полувысоте ≈ 130 нм соотнесена с излучением эксимеров Xe₁F*, образующихся предположительно в трехчастичных столкновениях с участием XeF и Xe. Радиационное время жизни Xe₂F* оценено ≈ 152 нс. Определены бимолекулярные константы скорости тушения Xe₂F* в столкновениях с NF₃, Xe и Ar, составившие соответственно $(7,8 \pm 1,2) \cdot 10^{-13}$, $(1,0 \pm 0,2) \cdot 10^{-13}$ и $(2,9 \pm 0,9) \cdot 10^{-14}$ см³·с⁻¹.

С. Литке

Эмиссионный
спектр

ср. 1983, 18, № 3

Xe₂F

1983

Sauerbrey R., Walter W,
et al.

Pi, creekmp

Excimer Lasers. Meet.
OSA, Lake Tahoe, Nev.
1983. New York, 1983, 249
255.

(cell. XeF; III)

Симптоматик
Характер.
Несправите
(у Кумикова)
Зайцев В.В., Кумикова Е.Ю
и гр.,
1983



Симптоматиче Характер неспра-
вите $Xe + F_2$.

Тезисы докладов XIX Всесоюзного
Съезда по спектрологии,
Томск, 1983.

$Xe_2 F^*$

1985

Басов Н. Г., Данилеви-
чев В. А. и др.

стекло

Квадрат. Электрон.
(Москва), 1985, 12, №,
1425-1430.

(рис. XeF^* ; III)

XeF₆

1987

19 Б1031. Неэмпирические исследования методом ССП молекулярной структуры XeF_6 , IF_6^- и TeF_6^{2-} в неоктаэдрических геометриях. *Ab initio SCF studies of the molecular structure of XeF_6 , IF_6^- , and TeF_6^{2-} in non-octahedral geometries.* Klobukowski M., Huzinaga S., Seijo L., Barandiarán Z. «Theor. chim. acta», 1987, 71, № 2—3, 237—245 (англ.)

Методом ССП в расширенных базисах ГФ оптимизированы структурные параметры молекул XeF_6 , JF_6^- и TeF_6^{2-} в конфигурации симметрии O_h и в локальных минимумах потенциальной Пв, соотв. симметрии C_{3v} и C_{2v} . В O_h -конфигурации энергии связи TeF_6^{2-} и JF_6^- составили 172 и 104 ккал/моль, соотв. Полная энергия XeF_6 в той же конфигурации в заданном базисе превышает сумму полных энергий свободных атомов на 192 ккал/моль. При понижении симметрии системы до C_{3v} и C_{2v} полная энергия исследованных молекул увеличивается на ~20 ккал/моль. Для всех молекул в O_h -, C_{3v} - и C_{2v} -конфигурациях вычислены дипольные моменты, заряды на ядрах, атомные заряды, электрич. поле и градиенты электрич. поля на ядрах. И. А. Тополь

м-1

(42)

X. 1987, 19, N 19

XeF₆

1987

10 Д46. Исследования неэмпирическим методом ССП молекулярной структуры XeF₆, JF₆⁻ и TeF₆²⁻ в неоктаэдрических геометриях. Ab initio SCF studies of the molecular structure of XeF₆, JF₆⁻, and TeF₆²⁻ in non-octahedral geometries. Kłobukowski M., Huzinaga S., Seijo L., Barandiarán Z. «Theor. chim. acta», 1987, 71, № 2—3, 237—245 (англ.)

Для указанных в заглавии молекул проведены расчеты методом ССП для всех электронов в сжатом большом гауссовском базисном наборе. Начальная молекулярная геометрия для этих молекул принималась симметрией O_h. Затем применялась техника градиентной минимизации для определения молекулярной структуры исследуемых систем вблизи локальных минимумов, соответствующих C_{3v} и C_{2v} геометриям для внутреннего движения. В симметрии O_h энергии связей в TeF₆²⁻ и JF₆⁻ соответственно равны 172 и 104 ккал/моль. Понижение симметрии до C_{3v} и C_{2v} приводит к понижению энергии на ~20 ккал/моль для всех изученных систем. Г. К.

м.п.

Х (72)

cf. 1987, 18, N10

$F_2 Xe^+$ [om. 30490] 1988
 $(Xe F_2^+)$ Jacob et. al.,

Ti; J. Phys. and Chem. Ref.
Di; Data, 1988, 17, N2, 347.

$F_2 Xe$
 (XeF_2)

Om. 30490

1988

Jacobs et. al.,

Ti, J. Phys. and Chem. Ref.
Di; Data, 1988, 17, N2, 348.

XeF_3^+

[Om. 40822]

2000

Gillia de Petris,
Andrea Ricci,

Chem. Phys. Lett., 2000,
332, 290-294.

Experimental evidence for

an asymmetric XeH_3^+ ion
in the gas-phase.

